

松尾橋梁株式会社 正員 ○藤田 昌宏
 東北大工学部 正員 佐々木 正雄
 同 正員 新間 茂

1. まえがき

3次元AE位置標定は、3次元的な広がりをもつコンクリートの破壊箇所を識別する有力な方法の一つであると考えられる。本文は、パーソナル・コンピューターを組み込んだ6チャンネルの計測システムを用い、疑似AEによる予備実験により、3次元AE位置標定の精度を検討した後、コンクリート供試体の割裂引張試験に適用し、考察を加えたものである。

2. 予備実験

3次元AE位置標定の精度を確かめるため、予備実験として供試体表面の既知の点から疑似AEパルスを入力し、その位置標定を行なった。

供試体は、 $100 \times 100 \times 100\text{ mm}$ のコンクリート立方体で

最大粗骨材寸法 15 mm 、 $\eta/\epsilon = 55\%$ 、 $S/\alpha = 50\%$ である。

トランスデューサーの配置、疑似AEパルスの入力点を図-1に、結果を表-1に示す。この結果は、各入力点で4回入力し、その平均値を示したものである。 P_2, P_5 は

入力位置がトランスデューサーに囲まれた空間、あるいはその近傍であるため、誤差は 10 mm 以内に収まっている。 P_1, P_3 は、入力位置がトランスデューサーに囲まれた空間以外であるため誤差が大きい。それは3次元AE位置標定のための条件が良くないためであると思われる。以上の結果より、3次元AE位置標定の精度は、AE発生位置とトランスデューサーの配置関係に大きく依存することがわかつる。

3. 割裂引張試験

実験を行なった供試体は、 $150 \times 150 \times 150\text{ mm}$ のコンクリート立方体で配合は予備実験のものと同じである。

載荷方法は、図-2のように供試体を2本の角柱の金属棒、ゴムシートではさみ、供試体への荷重が一様な面荷重となるようにならなかった。

AE発生位置を求める解析方法は、Leighton & Duvallによって提案された最小二乗法と繰り返し演算を行なう方法を用いた。また、AE波の到達時刻の判定は事象が多く、人間にによる手作業とコンピューターによる自動判定とで大差が無いことが予備実験で確かめられているので、AE波の到達時刻はすべてコンピューターによる自動判定で行なった。

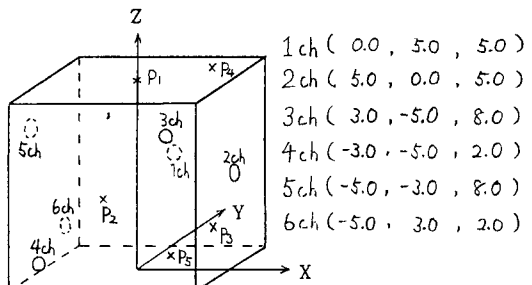


図-1 疑似AE入力位置及びトランスデューサーの配置

表-1 疑似AEの結果

No	疑似AEパルス入力点(cm)	算定結果(cm)	誤差(cm)
P ₁	(0.0, 0.0, 10.0)	(-0.41, -0.40, 6.72)	3.33
P ₂	(0.0, -5.0, 5.0)	(0.16, 4.05, 4.94)	0.97
P ₃	(5.0, -3.0, 3.0)	(2.17, -1.83, 4.36)	3.35
P ₄	(2.0, 3.0, 10.0)	(1.37, 2.61, 9.54)	0.87
P ₅	(3.0, -5.0, 2.0)	(2.73, -4.23, 2.56)	0.98

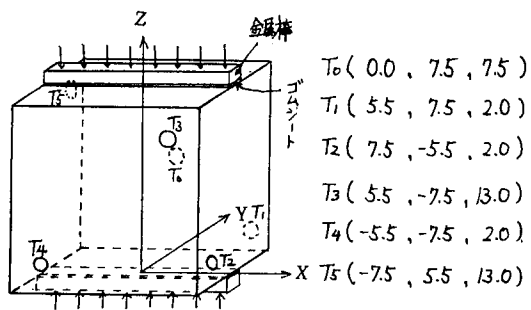


図-2 割裂引張試験

表-2 AE事象数と標定率

荷重(t)	記録されたAE事象数	P波分 1.0x10 ⁵ ~1.0x10 ⁶ Hz のAE事象数	位置標定率(%)
0.0~4.0	32	14	44
4.0~6.0	75	48	64
6.0~8.0	152	94	62
8.0~10.5	121	80	66
Total	380	236	62

4. 実験結果及び考察

この実験で観測されたAE事象数とその位置標定率を表-2に、位置標定された載荷レベルごとのAE発生位置を図-3に示す。図中の(a)と(b)は3次元的に分布しているAE発生位置をX-Y平面及びX-Z平面に、それぞれ投影したものと示している。図-4は、割裂した供試体の破壊状況を示している。図-4からAE発生位置は供試体中央部の載荷軸を含む破壊面付近に発生していることが認められる。載荷初期では、AE発生位置が供試体全体に分布しているが、荷重が増加するにつれて、最終的には破壊面となる位置に次第に収束していく様子が観測される。これは、比較的大きな規模の地震の発生前に観測される現象と類似している。本研究で用いたAE計測装置は、一事象の記録に約0.9秒の時間を必要とするため、瞬間に生じる最終的破壊面形成時のAEはほとんど位置標定することができない。したがって、載荷レベル8.0～10.5tは、破壊直前までのAE発生位置を示したものであり、主として2つの領域に集中している。したがって、最終的にこの2つの領域から破壊面が瞬間に全断面に広がったものと推定される。

また、100×100×100mmの立方体供試体で同様なトランステューサー配置を行ないAE位置標定を行なった結果、標定率は51%である。これは、AE波到達時間差に含まれるAE波到達時刻の読み取り誤差の比率によるものと考えられる。

5. あとがき

本研究では、3次元AE位置標定について基礎的な検討を試みた。このシステムによる割裂引張試験の結果、AE発生位置を取り扱うようにトランステューサーを配置すれば、10mm以内の誤差で3次元AE位置標定を行なうことが可能であると思われる。また、3次元AE位置標定は、供試体内部のAE発生位置から多数の微小破壊位置を立体的に捉えることが可能であることも確かめられた。しかしながら、AE波到達時間のバラツキや処理方法、最良のトランステューサー配置方法、コンクリート中のAE波の減衰が位置標定に及ぼす影響及び3次元AE位置標定の実際のコンクリート構造物への応用などについては今後の課題と考えられる。

最後に、本研究を行なうにあたり御協力いただいた東北大学工学部土木工学科の毛利一郎君に謝意を表します。なお、本研究は、昭和60年度文部省科学研修補助金試験研究(1)の支付を受け行なったものである。

参考文献

- (1) 近藤・新間・瀬浦：コンクリートの3次元AE解析について 土木学会東北支部技術研究委員会報告概要 1985
- (2) Leighton, F and W.I. Duvall : A least square method for improving the source Location of rock noise , Bull Mines Rep. Inv RL 7626, 1972

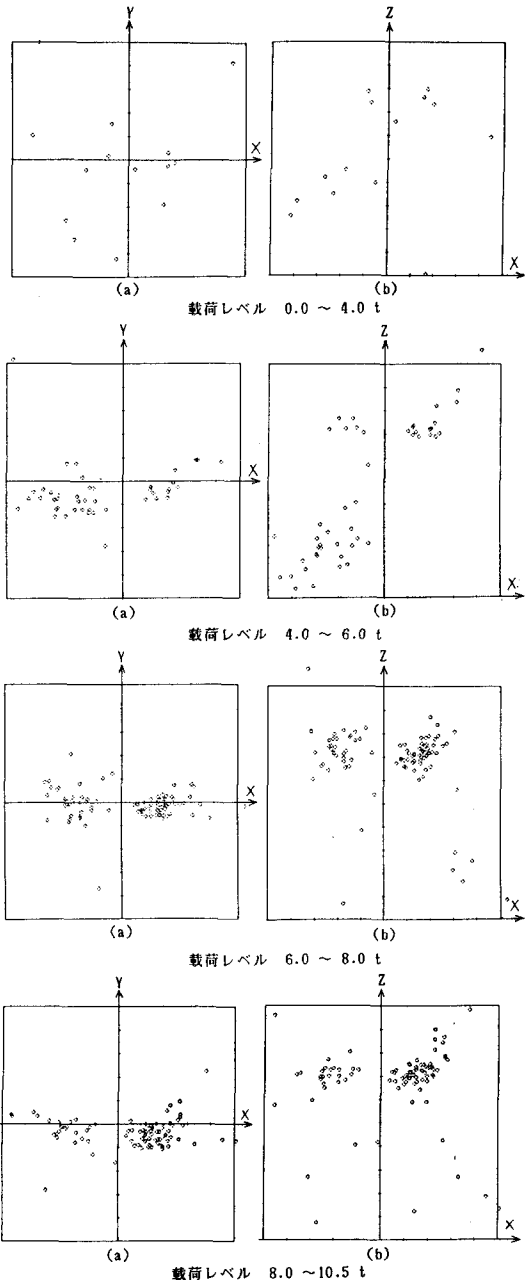


図-3 3次元AE位置標定結果

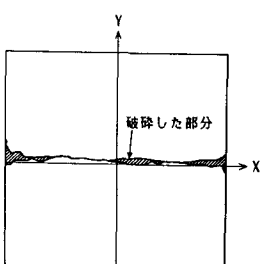


図-4 供試体の破壊面